

Биологические методы и приборы для контроля процессов приготовления колбасных фаршей
 СОБРАТОВ В.М. - Всесоюзный научно-исследовательский институт мясной промышленности
 ГОРБАТОВ В.Д. - ГОРБАТОВ А.В. - Московский технологический институт мясной и молочной промышленности, СССР, г. Москва

и автоматизации производства и повышения качества продукции необходимы приборы для объективного и оперативного контроля качества сырья на различных стадиях обработки. Отсутствие в промышленности таких приборов тормозит внедрение в практику автоматизированных линий производства колбасных изделий.

Приборы, использующие в совокупности качество продукции. Существующие методы оценки качества мясопродуктов необычайно сложны по своему составу и обладают комплексом различных свойств, наиболее весьма субъективны.

Более полное представление о качестве мясопродуктов может дать только та группа физических свойств, которая проявляет зависимость от биологического и химического состава и определяется внутренним строением продукта, т.е. его структурой. Приборы (I) должны быть такими, чтобы небольшие изменения качественных характеристик соответствовали большим изменениям свойств, характеризующих качество продукции, учитывая многообразие и взаимосвязь факторов, характеризующих качество продукции, представляет собой сложную научно-техническую задачу. Поэтому даже промежуточное решение частных задач будут полезны промышленности.

Консистенция качества колбасных фаршей может служить их консистенцией. В настоящее время оценка консистенции является субъективной, т.е. зависящей от индивидуальных особенностей дегустаторов и операторов. Для объективной оценки консистенции необходим инструментальный метод ее измерения. Консистенция может быть выражена или в условных единицах - степенью пénétrации, или комплексом сдвиговых (предельное напряжение сдвига, эластичная вязкость) и поверхностных (липкость, трение) структурно-механических свойств. Из этих свойств можно использовать для технологической оценки фарша в процессе его изготовления.

Изучение реологических приборов в наших лабораториях проводят в трех направлениях: универсальные - для научно-исследовательских целей; производственные - для поэтапного контроля качества оперативным методом; автоматические - для непрерывного контроля технологического процесса с обратной связью к обрабатывающей машине. Две последние группы приборов наилучше перспективны для промышленности (2,3).

В первой группе приборов - производственным, можно отнести конические пластометры и пénétrометры. Они позволяют определить консистенцию мясопродуктов по предельному напряжению

степени пénétrации или по относительной величине - степени пénétrации (экспресс-методом). В пластометре КИ-3, который дает ошибки при измерениях из-за отсутствия точной фиксации точки соприкосновения конуса с исследуемым продуктом. В пénétrометрах АР-4/1, АР-4/2, выпускаемых в ГДР, для уменьшения точности фиксации конуса с продуктом имеется микроскоп, что усложняет и утяжеляет конструкцию и усложняет процесс измерения. Приборы имеют массу 13-18 кг и не являются перспективными.

Во второй группе приборов - полуавтоматическим пластометром III-I (А. с. № 623153, б.и., 1978, № 33) предложено несколько модификаций полуавтоматических пénétrометров. В приборах устранены недостатки конического пластометра КИ-3 и других пénétrометров. Перемещение инденторов осуществляется плавно за счет того, что шток индентора соединен с поршнем; последний помещается в полый цилиндр, играющий роль демпфера. Механизм, регистрирующий перемещение конуса, имеет устройство, которое обеспечивает автоматическую фиксацию точки соприкосновения индентора с исследуемым продуктом.

При определении предельного напряжения сдвига различных вязко-пластичных пищевых продуктов предложен один из вариантов полуавтоматического пénétrометра III-I (А. с. № 623153, б.и., 1978, № 33). Помимо предельного напряжения сдвига в СССР используют конический пластометр КИ-3, который с рычагом. При перемещении конуса диски благодаря трения ролику, приводятся в движение, а затем вращение, посредством рычага. Во время контакта конуса с исследуемым электропроводным конусом, магнит оттягивает ролик и включает тормозное устройство, останавливающее вращение конуса. Смешение одного диска относительно другого показывает глубину пénétrации конуса в продукт. Таким образом прибор состоит из трех основных механизмов:

1) первая модификация полупроизводственного пénétrометра III-I (А. с. № 623153, б.и., 1978, № 33), регистрирующий перемещение конуса, представляет собой два соосно установленных диска, один из которых свободно вращается в подшипниках, а другой соединен через зубчатый ремень с рычагом. При перемещении конуса диски благодаря трению ролику, приводятся в движение, а затем вращение, посредством рычага. Во время контакта конуса с исследуемым электропроводным конусом, магнит оттягивает ролик и включает тормозное устройство, останавливающее вращение конуса. Смешение одного диска относительно другого показывает глубину пénétrации конуса в продукт. Таким образом прибор состоит из трех основных механизмов:

2) вторая модификация полупроизводственного пénétrометра III-I (А. с. № 623153, б.и., 1978, № 33), регистрирующий перемещение конуса, представляет собой два соосно установленных диска, один из которых свободно вращается в подшипниках, а другой соединен через зубчатый ремень с рычагом. При перемещении конуса диски благодаря трению ролику, приводятся в движение, а затем вращение, посредством рычага. Во время контакта конуса с исследуемым электропроводным конусом, магнит оттягивает ролик и включает тормозное устройство, останавливающее вращение конуса. Смешение одного диска относительно другого показывает глубину пénétrации конуса в продукт. Таким образом прибор состоит из трех основных механизмов:

3) третья модификация полупроизводственного пénétrометра III-I (А. с. № 623153, б.и., 1978, № 33), регистрирующий перемещение конуса, представляет собой два соосно установленных диска, один из которых свободно вращается в подшипниках, а другой соединен через зубчатый ремень с рычагом. При перемещении конуса диски благодаря трению ролику, приводятся в движение, а затем вращение, посредством рычага. Во время контакта конуса с исследуемым электропроводным конусом, магнит оттягивает ролик и включает тормозное устройство, останавливающее вращение конуса. Смешение одного диска относительно другого показывает глубину пénétrации конуса в продукт. Таким образом прибор состоит из трех основных механизмов:

4) четвертая модификация полупроизводственного пénétrометра III-I (А. с. № 623153, б.и., 1978, № 33), регистрирующий перемещение конуса, представляет собой два соосно установленных диска, один из которых свободно вращается в подшипниках, а другой соединен через зубчатый ремень с рычагом. При перемещении конуса диски благодаря трению ролику, приводятся в движение, а затем вращение, посредством рычага. Во время контакта конуса с исследуемым электропроводным конусом, магнит оттягивает ролик и включает тормозное устройство, останавливающее вращение конуса. Смешение одного диска относительно другого показывает глубину пénétrации конуса в продукт. Таким образом прибор состоит из трех основных механизмов:

Нижний стакан установлен неподвижно и через усилитель подключен к вторичному самопищущему прибору. При определении напряжения сдвига и снятия кинетики погружения индентора в продукт устойчиво устанавливают на предварительно выровненную поверхность исследуемого продукта. Точку соприкосновения индентора с исследуемым продуктом устанавливают вручную, что фиксируется лампочкой при помощи электрической схемы. После чего выключателем подают напряжение на генератор, усилитель и электромагнитную защелку, которая освобождает шток, выходя из зацепления с ним. Шток с индентором благодаря собственной силе тяжести начинает погружаться в исследуемый продукт. Так как верхний стакан соединен жестко со штоком, то при перемещении его относительно нижнего стакана образуется переменная электрическая емкость, увеличивающаяся по мере погружения индентора, что фиксируется вторичным прибором. Начальная емкость, образованная стаканами, компенсируется в схеме усилителя. По окончании замера устройство обесточивают, а шток выводят в верхнее положение, фиксируемое электромагнитной защелкой.

На приборе было проведено в производственных условиях более 200 опытов с записью кинетических кривых процесса внедрения конуса в различные виды фаршей. Анализ кривых показал, что в среднем 75% глубины внедрения конуса происходит за время 5 секунд. Следовательно, модернизация прибора, обеспечивающая измерение консистенции фарша на производстве, должна быть направлена на создание условий при которых происходит точное, стабильное и автоматическое измерение пятиsekундного интервала и глубины погружения конуса (коэффициента пенетрации) за это время.

Установлено, что измерение консистенции как величины предельного давления готовых изделий с помощью конусного индентора дает существенные ошибки. Поэтому для измерения консистенции готовых изделий разработано и исследовано ряд игольчатых инденторов. Результатами их исследований установлено, что при незначительных нагрузках игла достаточно глубоко внедряется в продукт. Консистенция продукта определенная по глубине погружения иглы, хорошо согласуется с результатами измерения, выполненного другими методами. При типательном приготовлении фарша отклонения измеряемых величин от средних значений составляют 5%. Для получения усредненных показаний консистенции производственных композиций различных видов готовых колбасных изделий применены четырехигольчатые инденторы.

Рассмотренные приборы не являются универсальными. Для промышленности необходим универсальный прибор, позволяющий контролировать и регулировать консистенцию фарша и готовых изделий из него. К прибору предъявляют следующие требования:

- иметь повышенную точность измерения глубины и длительности пенетрации;
- быть простым в обслуживании, компактным, легким, переносным для использования его на различных этапах технологического процесса производства колбасных изделий;
- быть простым по конструкции и надежным в работе, устойчивым к повышенной влажности, вибрации и т.д.;

Разработанная третья III-3 (а.с. № 731373, б.и. 1980 № 16) и четвертая III-4 (а.с. № 822026, б.и. 1981, № 15) модификации полуавтоматического пенетрометра удовлетворяют приведенным требованиям. Отличительной особенностью третьей модификации пенетрометра по сравнению с первой является наличие реле времени и повышение точности измерения благодаря замены механической части (диск-ролик-диск и зубчатой передачи) на электромагнитную систему. Пенетрометр III-4 является универсальным и позволяет замерять предельное напряжение сдвига и степень пенетрации, как электропроводящих, так и не электропроводящих продуктов. Он снабжен блоком управления с реле времени, тормозным механизмом с диском и электромагнитом фиксации измерений для определения коэффициента пенетрации. Прибор имеет равномерную шкалу отсчета. Механизм регистрации перемещения индентора связан посредством соединений между собой шкива, тросика и стержня со штоком. Тормозной блок соосно расположен со шкивом механизма регистрации. При автоматической фиксации момента соприкосновения индентора с продуктом, включается тормозное устройство, которое гасит инерцию подвижной части прибора.

Предлагаемые нами приборы - полуавтоматические пенетрометры позволяют контролировать качество как готовых изделий, так и фаршей на различных стадиях технологической обработки экспресс-методом.

Структурно-механические свойства колбасного фарша и готовой продукции из него взаимосвязаны и определяются, в значительной мере, процессом приготовления фарша (куттерование). Структурно-механические и технологические характеристики фарша и готовых изделий, соответствующие оптимальной продолжительности измельчения при оптимальном влагосодержании называются "эталонными" (3). Для широкого использования "эталонных" показателей в промышленности необходимо приборы, позволяющие объективно контролировать качество продуктов (по структурно-механическим свойствам) в процессе их изготовления с возможностью применения обратной связи с технологическим оборудованием.

Для выполнения поставленной задачи разработаны капиллярные и сдвиговые устройства для определения структурно-механических свойств колбасного фарша в потоке с наличием обратной связи к обрабатывающей машине.

Капиллярные устройства мостового или сильфонного типа позволяют использовать их для любого типа измельчителей и дают возможность путем непрерывного измерения структурно-механических свойств автоматически регулировать весь процесс измельчения. В сильфонном устройстве (а.с. № 370524, б.и. 1973, № II, а.с. № 688868, б.и. 1979, № 36) указанная цель достигается тем, что фарш во время измельчения пропускается через горизонтальную трубку, имеющую по краям упругие элементы-пружины, сильфоны и т.д. Благодаря возникающим усилиям за счет трения между слоями движущегося фарша, трубка совершает движение вдоль продольной оси. Величина перемещения измеряется чувствительным датчиком и передается регистрирующему и регулирующему приборам.

В устройстве, работающем по принципу "моста" при протекании продукта через трубы различного сечения возникает перепад давления (разбаланс моста). Если меняются структурно-механические свойства, то изменяется перепад давления, который регистрируется прибором (а.с. № 368506, б.и. 1973, № 9), специально разработанными для этой цели. При наличии обратной связи этот прибор, также как и предыдущий, может регулировать консистенцию фарша.

Теория капиллярной вискозиметрии основывается на том, что поток в приборе ламинарный, сжатие на стенке отсутствует, скорость сдвига в точке зависит от напряжения. Условия одномерного прямолинейного движения выделенного в жидкости цилиндра радиусом r и длиной l , где r - переход давления на торцах цилиндра, определяется равенством движущей силы - силы давления, приложенной к его торцам: $\rho \pi r^2$

из вязкого сопротивления, приложенной к его боковой поверхности: $\frac{2\pi r l \Theta}{2e} \cdot r$ Из получаемого (1). Из уравнения (1) видно, что напряжение на оси трубы равно нулю, а на ее стенке Θ_c при радиусе R

$$\text{тогда } \Theta = \Theta_c \frac{r}{R} \quad (3)$$

представим истинный градиент скорости $\frac{\partial u(r)}{\partial r}$, где $u(r)$ - скорость слоя радиусом r , в виде напряжения сдвига $\dot{\epsilon}(\theta)$; $-\frac{\partial u(r)}{\partial r} = \dot{\epsilon}(\theta)$ где знак "минус" показывает, что скорость с увеличением радиуса уменьшается. Интегрирование в пределах от r до R дает

$$-[u(R) - u(r)] = \int_r^R \dot{\epsilon}(\theta) dr.$$

Поскольку проскальзывание отсутствует, то $u(R) = 0$. Расход жидкости dV/dt через элементарный объем dr определяется выражением $dV/dt = 2\pi r u(r) dr$. Поставляя вместо скорости слоя ее значение и интегрируя по частям, получаем расход жидкости во всей трубе $V_c = \pi R^2 \int_0^R r^2 \dot{\epsilon}(\theta) dr$. Тогда последнее выражение легко предста-

$$\text{в общем виде: } \frac{4V_c}{\pi R^3} = \frac{4}{\theta_c^3} \int_0^{\theta_c} \theta^2 \cdot \dot{\epsilon}(\theta) d\theta \quad (4)$$

для ньютоновской жидкости $\dot{\epsilon}(\theta) = \frac{\theta}{2}$ Элементарное интегрирование уравнения (4) позволяет по-

$$\frac{4V_c}{\pi R^3} = \frac{\theta}{\theta_c^3} \text{ или } \theta_c = \sqrt[3]{\frac{4V_c}{\pi R^3}} = \sqrt[3]{\frac{32V_c}{\pi d^3}} \quad (5)$$

и среднеобъемная скорость w (м/с) связана соотношением $w = V/c = \pi R^2 w = \frac{\pi d^2}{4} w$, где c - продолжительность протекания объема V , получаем

$$\theta_c = \sqrt[3]{\frac{4V_c}{\pi R^3}} = \sqrt[3]{\frac{8w}{d}}$$

в этих выражениях по аналогии с законом вязкого сопротивления Ньютона $\theta_c = PR/2e$ - консистентная п-градиент скорости".

Следующем виде: $c = \frac{4897}{4897} \cdot \tau$

$$\text{При интегрировании общего уравнения (4) для стенной жидкости } \dot{\epsilon}(\theta) = \left(\frac{\theta}{B_0^* \dot{\epsilon}_1^{1-n}} \right)^{1/n}$$

$$\frac{4V_c}{\pi R^3} = \frac{4}{\theta_c^3} \int_0^{\theta_c} \theta^2 \left(\frac{\theta}{B_0^* \dot{\epsilon}_1^{1-n}} \right)^{1/n} d\theta = \frac{4n}{3n+1} \left(\frac{\theta_c}{B_0^* \dot{\epsilon}_1^{1-n}} \right)^{1/n} \quad (6)$$

где B_0^* - эффективная вязкость (Па·с) при единичном значении градиента скорости $\dot{\epsilon}_1 = 1 \text{ c}^{-1}$.

Число n - эфективная вязкость (Па·с) при единичном значении градиента скорости $\dot{\epsilon}_1 = 1 \text{ c}^{-1}$.

Число n - эфективная вязкость (Па·с) при единичном значении градиента скорости $\dot{\epsilon}_1 = 1 \text{ c}^{-1}$.

Число n - эфективная вязкость (Па·с) при единичном значении градиента скорости $\dot{\epsilon}_1 = 1 \text{ c}^{-1}$.

Число n - эфективная вязкость (Па·с) при единичном значении градиента скорости $\dot{\epsilon}_1 = 1 \text{ c}^{-1}$.

Число n - эфективная вязкость (Па·с) при единичном значении градиента скорости $\dot{\epsilon}_1 = 1 \text{ c}^{-1}$.

Число n - эфективная вязкость (Па·с) при единичном значении градиента скорости $\dot{\epsilon}_1 = 1 \text{ c}^{-1}$.

Число n - эфективная вязкость (Па·с) при единичном значении градиента скорости $\dot{\epsilon}_1 = 1 \text{ c}^{-1}$.

Число n - эфективная вязкость (Па·с) при единичном значении градиента скорости $\dot{\epsilon}_1 = 1 \text{ c}^{-1}$.

Число n - эфективная вязкость (Па·с) при единичном значении градиента скорости $\dot{\epsilon}_1 = 1 \text{ c}^{-1}$.

Число n - эфективная вязкость (Па·с) при единичном значении градиента скорости $\dot{\epsilon}_1 = 1 \text{ c}^{-1}$.

Число n - эфективная вязкость (Па·с) при единичном значении градиента скорости $\dot{\epsilon}_1 = 1 \text{ c}^{-1}$.

Число n - эфективная вязкость (Па·с) при единичном значении градиента скорости $\dot{\epsilon}_1 = 1 \text{ c}^{-1}$.

Число n - эфективная вязкость (Па·с) при единичном значении градиента скорости $\dot{\epsilon}_1 = 1 \text{ c}^{-1}$.

Число n - эфективная вязкость (Па·с) при единичном значении градиента скорости $\dot{\epsilon}_1 = 1 \text{ c}^{-1}$.

Число n - эфективная вязкость (Па·с) при единичном значении градиента скорости $\dot{\epsilon}_1 = 1 \text{ c}^{-1}$.

Число n - эфективная вязкость (Па·с) при единичном значении градиента скорости $\dot{\epsilon}_1 = 1 \text{ c}^{-1}$.

Число n - эфективная вязкость (Па·с) при единичном значении градиента скорости $\dot{\epsilon}_1 = 1 \text{ c}^{-1}$.

Число n - эфективная вязкость (Па·с) при единичном значении градиента скорости $\dot{\epsilon}_1 = 1 \text{ c}^{-1}$.

Число n - эфективная вязкость (Па·с) при единичном значении градиента скорости $\dot{\epsilon}_1 = 1 \text{ c}^{-1}$.

Число n - эфективная вязкость (Па·с) при единичном значении градиента скорости $\dot{\epsilon}_1 = 1 \text{ c}^{-1}$.

Число n - эфективная вязкость (Па·с) при единичном значении градиента скорости $\dot{\epsilon}_1 = 1 \text{ c}^{-1}$.

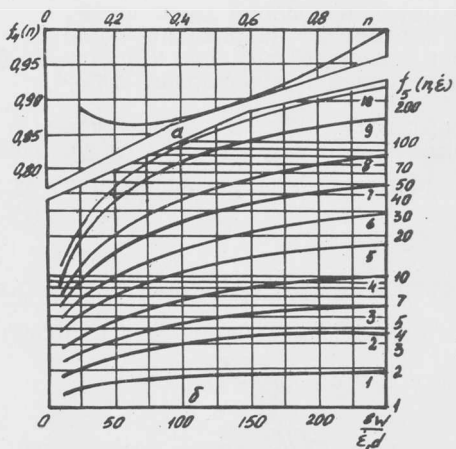


Рис. I. Графики для определения функций течения в капиллярных вискозиметрах:

"а" - функция индекса течения по формуле 8;
"б" - функция индекса течения и среднего градиента скорости по формуле 8а в зависимости от числовых значений градиента скорости при различных индексах течения 0,1; 0,2; 0,3; 0,4; 0,5; 0,6; 0,7; 0,8; 0,9; 1,0.

Fig. 1. Graphs to determine flow functions in capillary viscosimeters: a - flow index function by Formula 8; b - flow index function & mean velocity gradient by Formula 8a as related to the numerical values of velocity gradients at various flow indices 0.1, 0.2, 0.3, 0.4, 0.5, 0.6, 0.7, 0.8, 0.9, 1.0.

В дифференциальное уравнение $\frac{d}{dx} \left(B_{11}^{\frac{1}{n}} \frac{du}{dx} \right)^n = 0$ (где $B_{11}^{\frac{1}{n}}$ - коэффициент пропорциональности эффективной вязкости (На $\eta^{\frac{1}{n}}$), при единичном значении градиента скорости $\frac{du}{dx} = 1$, c^{-1}) входит истинный индекс течения n , который со средним связан следующими соотношениями:

$$n = \frac{\partial (\ln \Omega_c)}{\partial [\ln (3n+1) \cdot \frac{du}{dx}]} = 1 - \frac{1}{3n+1} \cdot \frac{\partial \ln \Omega_c}{\partial \ln \frac{du}{dx}}$$

или $\frac{du}{dx} = \frac{1}{n} + \frac{4n^2 + 4n + 1}{\partial (\ln \Omega_c) / \partial \ln \frac{du}{dx}}$ (9)

Вопрос о равенстве индексов течения или применение того или иного его значения решается экспериментально. При постоянных индексах течения кривые течения имеют одинаковую форму, но будут раздвинуты по оси градиентов скорости пропорционально значению $(3n+1)/4n$. Методика измерения сдвиговых свойств для большинства приборов этого типа подобна. Сдвиговые устройства также предназначены для определения комплекса структурно-механических свойств колбасного фарша в процессе куттерования, а также для автоматического фиксирования оптимальной степени измельчения. В МТИМШ разработан по принципу скольжения пластины по продукту ряд устройств. Устройство (а.с. № 578617, б.и. 1977, № 40) (4) состоит из корпуса, включающего неподвижную и подвижную (ползун) части. На неподвижной части укреплена рама с роликом и пружиной, связанной с кронштейном. Внутри рамы установлена катушка с первичной и вторичными витками, включенными обмотками. Подключение вторичных обмоток необходимо для компенсации начальной ЭДС при отсутствии внешней нагрузки. Подвижная часть корпуса имеет рифление для контакта с исследуемым продуктом и содержит нагревательные элементы, поддерживающие постоянную температуру в месте контакта.

Работает устройство следующим образом: при определении структурно-механических свойств фарша устройство располагают в куттере, таким образом, чтобы рифление соприкасалось с исследуемым продуктом; при движении продукт воздействует на рифление подвижной части корпуса и перемещает его относительно неподвижной части. Сердечник, перемещаясь в катушке, меняет ЭДС вторичных обмоток, что фиксируется приборами. Устройство позволяет регулировать силу контактирования с продуктом, что изменяет величину адгезии. Контроль может осуществляться в течение всей технологической операции (куттерование, перемешивание) или периодически.

При использовании автоматического потенциометра в качестве контрольного прибора, возможно фиксирование измерений структурно-механических свойств исследуемого фарша во времени, а применение потенциометра с контрольной стрелкой позволяет автоматически определить оптимальную степень измельчения фарша (а.с. № 737832, б.и. 1980, № 20). В процессе измельчения показания измерения реологических свойств фарша проходят через максимум, достигнув минимума показания, регистрируемого приборе начинают уменьшаться. При этом сигнальная цепь блока управления, возмущение мыкается. Кроме того, в МТИМШ разработано устройство (а.с. № 773489, б.и. 1980, № 39), позволяющее автоматически фиксировать оптимальную степень измельчения без вторичного прибора. Данное устройство является простым по конструкции, компактным и надежным в работе. Таким образом, принцип работы рассмотренных устройств основан на измерении усилий, которые возникают при перемещении ползуна по поверхности фарша. Для теоретического определения усилий предполагаем, что ползун - абсолютно жесткое тело, а фарш - упруго-вязкая среда. Фарш вращается с угловой скоростью ω ($\omega = \frac{\pi}{30}$), где n - об/мин. Ползун находится на расстоянии r от центра вращения. Скорость перемещения ползуна относительно фарша равна $w = \omega \cdot r$.

При больших угловых скоростях перемещение ползуна по фаршу может происходить путем проскальзывания, за счет малой величины адгезии. Если же сила адгезии большая, то возможно нарушение сплошности фарша, т.е. ползун тащит за собой прилипшие куски фарша. В этом случае происходит проскальзывание фарша по фаршу. Если же адгезия большая, а скорость перемещения ползуна низкая, то не происходит нарушения сплошности среды. Последнее состояние берем за основу при рассмотрении равновесия элемента (4). Предварительные исследования показали, что предельные напряжения сдвига фарша, выраженные в Паскалях и определенные на ротационных вискозиметрах и конических пластометрах хорошо коррелируются с линейными перемещениями ползуна, а следовательно и с расчетными усилиями. Поэтому данные устройства являются теоретически обоснованными и могут найти применение в промышленности.

Таким образом, разработка комплекса приборов позволила определить в лабораторных и производственных условиях оптимальные параметры на каждом технологическом этапе колбасного производства. Приборы дают возможность контролировать и автоматически регулировать величину структурно-механических свойств фарша в производственных условиях, что создает предпосылки для создания автоматической системы управления качеством.

ЛИТЕРАТУРА

- Горбатов А.В. Реология мясных и молочных продуктов, - М.: Пищевая промышленность, 1979, 373 с.
2. Косой В.Д. Определение предельного напряжения сдвига бесшнитового колбасного фарша дляоценки качества готовых изделий. - Мясная индустрия СССР, 1978, № 4, с.26-32.
3. Горбатов А.В., Горбатов В.М., Косой В.Д. Эталонные характеристики колбасных фаршей. XIII Европейский конгресс научных работников мясной промышленности. - М.: Пищевая промышленность, 1980, с.401-406.
4. Исследование устройства для определения консистенции колбасного фарша при куттеровании. А.В. Горбатов, В.Д. Косой, Щукин В.М., Звонов О.В. Мясная индустрия СССР, 1980 № 10, с.31-34.